

## افزایش دوز ناشی از تزریق نانوذرات طلا، گادلینیوم، آهن و تیتانیوم به تومورهای سرطانی در برآکی تراپی با چشم‌های ایریدیم-۱۹۲: روش مونت کارلو

منصور ذبیح‌زاده<sup>۱\*</sup>، سیده سحر عارفیان<sup>۲</sup>، نسیم شمس

### چکیده

زمینه و هدف: در برهمکنش‌های فوتون با ماده، افزایش عدد اتمی ماده هدف و کاهش انرژی فوتون تابشی جذب فوتوالکتریک را در آن ماده افزایش می‌دهد. در مطالعه حاضر فاکتور افزایش دوز (Dose Enhancmenet Factor) تومور پر شده با نانوذرات (Nano Particles) برای برآکی تراپی با چشم‌های ایریدیم-۱۹۲ مطالعه شد.

روش بررسی: محاسبات مونت کارلو برای تعیین افزایش دوز ناشی از چشم‌های ایریدیم-۱۹۲ با کد MCNP4C انجام شد. مدل مخلوط آب-نانوذرات برای توزیع یکنواخت نانوذرات طلا، گادلینیوم، آهن و تیتانیوم با غلاظت‌های ۱۸، ۷ و ۳۰ mgr/gr در حجم توموری که در فاصله ۱/۵ cm از چشم‌های مرکز فانتوم آب قرار داده شده در نظر گرفته شد.

یافته‌ها: فاکتور افزایش دوز برای نانوذرات طلا برابر با ۱/۰۴۹، ۱/۱۲۲، ۱/۲۰۱ و ۱/۲۰۰ برای نانوذرات گادلینیوم برابر با ۱/۰۳۳، ۱/۰۸۳ و ۱/۱۳۶ به ترتیب با غلاظت‌های ۷، ۱۸ و ۳۰ mgr/gr تخمین زده شد. میزان افزایش دوز برای آهن و تیتانیوم قابل ملاحظه نبود. افزایش فاصله شعاعی تومور از چشم‌های (از ۱/۵ تا ۵) cm فاکتور افزایش دوز را (تا ۲۲٪) افزایش می‌دهد.

نتیجه‌گیری: نتایج ما پیش‌گویی می‌کند که پرکردن تومور با نانوذرات با اعداد اتمی بالا مانند طلا به دنبال پرنوگیری از چشم‌های برآکی تراپی با آهنگ دوز بالای ایریدیم-۱۹۲ دوز جذبی تومور را به دلیل افزایش برهمکنش‌های فوتوالکتریک افزایش داده و منجر به بهبود بهره درمانی می‌شود. فاصله شعاعی تومور از چشم‌های به دلیل کاهش انرژی میانگین در اثر تضعیف و افزایش غلاظت نانوذرات و نیز به دلیل افزایش جذب فوتوالکتریک فاکتور افزایش دوز را افزایش می‌دهد.

کلید واژگان: فاکتور افزایش دوز، چشم‌های برآکی تراپی ایریدیم-۱۹۲، شبیه‌سازی مونت کارلو، نانوذرات.

- ۱- استادیار گروه فیزیک پزشکی.
- ۲- دانشجوی کارشناسی ارشد فیزیک پزشکی.
- ۳- استادیار گروه رادیولوژی دهان، فک و صورت.

- ۱- گروه فیزیک پزشکی، دانشکده پزشکی، دانشگاه علوم پزشکی جندی‌شاپور اهواز، ایران.
- ۲- گروه رادیولوژی دهان، فک و صورت، دانشکده دندانپزشکی، دانشگاه علوم پزشکی جندی‌شاپور اهواز، ایران.

\* نویسنده مسؤول:

منصور ذبیح‌زاده، گروه فیزیک پزشکی، دانشکده پزشکی، دانشگاه علوم پزشکی جندی‌شاپور اهواز، ایران.

تلفن: ۰۰۹۸۹۱۲۵۰۳۲۲۸۳

Email: zabihzadeh@ajums.ac.ir

## مقدمه

کردند. همچنین محققان دیگری (۱۴، ۱۵) در این زمینه مطالعاتی را گزارش کردند که به طور کلی نتایج این تحقیقات اثربخشی این روش در افزایش دوز تومور را نشان می‌دهند.

به دلیل عدم وجود اطلاعات دقیق کمی و کیفی کافی و و نیز نبود صحت کافی داده‌های گزارش شده مطالعات بیشتری نیاز است. چشمۀ برآکی‌ترابی ایریدیم-۱۹۲ به طور وسیع در درمان‌های با آهنگ دوز بالا مورد استفاده می‌باشد. این چشمۀ به دلیل داشتن انرژی نسبتاً پایین (با میانگین ۳۶۰ KV)، در برخورد با ماده با عدد اتمی بالا سطح مقطع فوتولکتریک بالایی خواهد داشت، از طرفی حجم این چشمۀها بسیار کوچک است و لذا از طریق کاشت داخل بافتی و یا داخل حفره‌ای می‌توانند با قرارگیری در کنار تومور، دوز را تنها به بافت توموری تحويل داده و به دلیل افت شدید دوز با افزایش فاصلۀ تابش گیری ناخواسته بافت‌های سالم مجاور تومور به حداقل کاهش می‌یابد (۹). در این مطالعه با استفاده از روش شبیه‌سازی مونت‌کارلو، میزان افزایش دوز تومور حاوی نانوذرات مختلف در برآکی‌ترابی با چشمۀ رایج ایریدیم-۱۹۲ با آهنگ دوز بالا (مدل MicroSelectron) بررسی شد. غلطت‌های مختلفی از نانوذرات طلا، گادلینیوم، آهن و تیتانیوم جهت بررسی اثر غلطت و نوع ماده ارزیابی شدند. علاوه بر این تأثیر عمق تومور و انرژی اشعه به کار رفته (طیف انرژی و یا انرژی میانگین منبع) بر میزان افزایش دوز تومور حاوی نانوذرات ارزیابی شد.

### روش بررسی

در مطالعه پژوهشی حاضر محاسبات مونت‌کارلو توسط کد شبیه‌سازی MCNP4C محاسبه شد. برای تعیین تأثیر حضور نانوذرات بر افزایش دوز تومور از مفهوم فاکتور

عمده‌ترین مشکل موجود در زمینه رادیوتراپی رساندن دوز تجویزی به سلول‌های توموری و حفاظت از بافت سالم اطراف ارگان مورد نظر برای کاهش ریسک سلطان‌های ثانویه است، این مسئله عامل تعیین‌کننده در انتخاب روش درمانی، خواهد بود (۱، ۲).

بر اساس قوانین برهمنکنش فوتون با ماده، احتمال جذب فوتولکتریک تقریباً به صورت  $(Z/E)^3$  با توان سوم عدد اتمی ماده هدف، رابطه مستقیم و با توان سوم انرژی فوتون تابشی نسبت عکس دارد (۱، ۲). از این‌رو، ایده استفاده از مواد با عدد اتمی بالا به همراه پرتوهای فوتونی کم انرژی به‌منظور افزایش دوز تومور سال‌ها پیش مطرح شد (۳-۵). در سال‌های اخیر استفاده از فناوری نانو در اکثر زمینه‌های علمی به شدت مورد توجه قرار گرفته است و کاربرد این ذرات مورد مطالعه و ارزیابی قرار گرفته است (۶). نانوذرات به علت اندازه بسیار کوچک، قابلیت نفوذ بالایی از طریق عروق خونی به داخل تومور دارند، از این‌رو می‌توانند در زمینه پزشکی بسیار مؤثر واقع شوند (۷). به عنوان مثال این ذرات در بهبود روند گرما درمانی تحریکی فروسرخ (۸)، تصویربرداری تشخیصی (۱۰)، و تحويل دارو و ژن به بافت و نشاندار کردن نانوذرات (۱۱) مورد مطالعه قرار گرفته‌اند. در سال‌های اخیر، تلاش‌های فراوانی برای افزایش دوز با اضافه کردن نانوذرات به تومور صورت گرفته است؛ اولین مطالعه در سال ۲۰۰۴ توسط هینفلد (Hainfeld) و همکارانش انجام شد که با تزریق نانوذرات طلا به داخل تومور ایجاد شده در موش و سپس با تحت تابش قرار دادن آن توسط اشعه X، تومورهای ایجاد شده در بدن موش را از بین برداشتند (۱۲)؛ در ادامه برای تعیین دقیق ویژگی‌های دوزیمتري این روش چو (Cho) و ژانگ (Zhang) (۶) و همکارانش (۱۳) با استفاده از روش شبیه‌سازی مونت‌کارلو میزان افزایش دوز تومور ناشی از چشمۀ‌های پرتوبی مختلف را در حضور غلطت‌های متفاوتی از نانو ذرات طلا محاسبه

در پوسته‌هایی هم مرکز به ضخامت ۱ cm تا فاصله ۱ cm از چشم در داخل کره‌ای پر از هوای خشک به شعاع ۱۰۰ m محسوبه شد و میانگین مقادیر حاصله بر اساس معادله (۱) به عنوان قدرت کرمایی هوا در فاصله ۱ cm از منبع در نظر گرفته شد. طبق معادله (۲) نسبت آهنگ دوز در فاصله ۱ cm بر روی محور عمود بر محور مرکزی چشم،  $P(r_0 = 1 \text{ cm}, \theta = 90^\circ)$  در داخل فانتوم آب به قدرت کرمایی هوا چشم به عنوان ثابت آهنگ دوز، محسوبه شد:

$$\Lambda = D(r_0, \theta) / S_K \quad (2)$$

برای محسوبه فاکتور افزایش دوز DEF، فانتوم همگن آبی (معادل بافت نرم با دانسیته  $\text{gr/cm}^3$ ) (۱) به ابعاد  $15 \times 15 \times 15 \text{ cm}^3$  در نظر گرفته شد. چشم ایریدیم-۱۹۲ در مرکز این فانتوم قرار داده شد و توموری به ابعاد  $1 \times 1 \times 1 \text{ cm}^3$  در راستای محور عمود بر محور مرکزی چشمی در فاصله  $1/5 \text{ cm}$  از مرکز فانتوم تعییه شد (شکل ۱). میزان تغییرات دوز ناشی از حضور نانوذرات با در نظر گرفتن توزیع یکنواخت نانوذرات به صورت مخلوط با آب در درون حجم فرضی تومور به دنبال پرتوگیری چشم ایریدیم-۱۹۲ محسوبه شد. نانوذرات طلا، گالیونیوم، آهن و تیتانیوم با غلظت‌های ۷، ۱۸ و ۳۰ mgr/gr (میلی‌گرم در ۱ گرم تومور) به صورت یکنواخت در حجم تومور توزیع شده‌اند. این غلظت‌ها با توجه به مطالعه حیوانی هاینفلد در سال ۲۰۰۴ (۱۲) انتخاب شده است که این مقادیر بر اساس میزان نانوذرات موجود در عروق موش در زمانهای مختلف بعد از تزریق  $2/7 \text{ gr}$  طلا به ازای یک کیلو وزن بدن موش بوده است.

برای کاهش زمان اجرای برنامه‌ها، از شبیه‌سازی طیف بتا و اشعه ایکس مشخصه ناشی از جذب ذرات بتا در داخل کپسول چشمی صرف نظر شد، چرا که این تابشها غالباً جذب کپسول می‌شوند و یا در صورت عبور تنها موجب

افزایش دوز (Dose Enhancement Factor: DEF) استفاده شد که به صورت نسبت دوز میانگین داخل تومور در حضور نانوذرات و بدون حضور آنها بعد از پرتودهی تومور تعریف می‌شود.

در این شبیه‌سازی از چشم ایریدیم-۱۹۲ با آهنگ دوز بالا (High Dose Rate:HDR) مدل MicroSelectron استفاده شده است. ساختار و ابعاد این چشمی در شکل ۱ نشان داده شده است. طول فعال چشمی استوانه‌ای به طول  $3/5 \text{ mm}$  و قطر  $0/6 \text{ mm}$  از ایریدیم خالص (با دانسیته  $22/42 \text{ gr/cm}^3$ ) با توزیع یکنواخت است که درون محفظه‌ای از جنس استیل ضد زنگ قرار دارد؛ طول کپسول  $5 \text{ mm}$  و قطر آن  $1/1 \text{ mm}$  است، به طوری که شعاع انتهای کروی بیرونی این کپسول برابر  $0/55 \text{ mm}$  می‌باشد. استیل مورد استفاده از نوع AISI 316L با ترکیبی از  $12\% \text{ منگنز، } 1\% \text{ سیلیسیوم، } 17\% \text{ کرپیتون، } 12\% \text{ نیکل و } 68\% \text{ آهن}$  با دانسیته  $8/02 \text{ gr/cm}^3$  است (۱۶، ۱۷). مشخصات فیزیکی چشم ایریدیم-۱۹۲ در جدول ۱ نمایش داده شده است.

برای اعتباریابی شبیه‌سازی‌های انجام شده برای چشم ایریدیم-۱۹۲، ثابت آهنگ دوز (Dose rate constant) محاسبه شد و با نتایج دیگر مطالعات مقایسه شد. امروزه محاسبات آهنگ دوز در اطراف چشم‌های براکی‌ترابی در TG-American Association of Radiology (43AAPM, ۱۸) انجام می‌شود. بر این اساس مطابق با معادله (۱) قدرت کرمایی هوا،  $S_K(d)$ ، برابر با حاصل ضرب آهنگ دوز،  $K(d)$ ، در توان دوم فاصله از مرکز چشم،  $d$ ، محسوبه می‌شود:

$$S_K(d) = K(d) \times d^2 \quad (1)$$

آهنگ کرمایی هوا

نشان می‌دهد با تقریب بسیار خوبی می‌توان از فرض برابری کرما و دوز جذب برای محاسبه دوز جذبی در برآکتیو را پایه با چشممهای رادیواکتیو کم انرژی استفاده کرد.

بیشترین عدم قطعیت آماری در محاسبه آهنگ‌های کرمای هوا در دورترین فاصله ( $100\text{ cm}$ ) برابر  $10\%$  بود. قدرت کرمای هوا در تمام فواصل با تغییرات  $132\%$  ثابت بود و لذا میانگین قدرت کرماهای محاسبه شده به عنوان قدرت کرمای هوا در فاصله  $r_0=1\text{ cm}$  در نظر گرفته شد. ثابت آهنگ دوز با خطای ترکیبی کل  $84\%$  ( $\text{cGy h}^{-1}$ ,  $\text{U}^{-1}$ , برای چشممه ایریدیم-۱۹۲ برابر با  $127\%$  محاسبه شد.

در جدول ۲ میانگین فاکتور افزایش دوز (DEF) در کل حجم تومور با تزریق چهار نوع نانوذره (طلا، گادلینیوم، آهن و تیتانیوم) به داخل تومور با فرض توزیع یکنواخت لیست شده‌اند. بیشترین فاکتور افزایش دوز ( $194\%$ ) برای ماده طلا و برای بیشترین غلظت ( $30\text{ mgr/gr}$ ) بدست آمد، در حالی که حضور تیتانیوم در حجم تومور افزایش دوز معناداری را نشان نمی‌دهد.

در شکلهای ۳ الف-د چگونگی تغییرات دوز در داخل تومور و نیز در بیرون تومور (قبل و بعد از تومور) بر حسب تابعی از فاصله شعاعی از تومور نمایش داده شده است. همان‌گونه که مشخص است برای طلا، گادلینیوم و آهن فاکتور افزایش دوز در ناحیه قبل از تومور بدون تغییر می‌ماند در حالی که به تدریج و با افزایش عمق نفوذ در داخل تومور دوز افزایش می‌یابد و به ماکریم عدم قدر خود در انتهای تومور می‌رسد. هرچند که این افزایش دوز برای آهن و بهویژه برای تیتانیوم قابل ملاحظه نیست. باید به این نکته توجه داشت که فاکتورهای افزایش دوز نشان داده شده بعد از عمق  $2\text{ cm}$  در شکل ۳ در واقع بیانگر افزایش دوز نیستند و فقط کاهش دوز بعد از حجم تومور را بیان می‌کنند.

افزایش دوز در فاصله کمتر از  $1\text{ mm}$  می‌شوند ( $19\%$ ) در حالی که سطح جلویی تومور در مطالعه حاضر در فاصله  $1\text{ cm}$  از چشممه قرار دارد. در شبیه‌سازی‌های جداگانه تأثیر چگونگی در نظرگیری انرژی (منوانرژیک یا طیف واقعی) مربوط به چشممه ایریدیم-۱۹۲ بر فاکتور افزایش دوز محاسبه شد. علاوه بر این برای غلظت  $18\text{ mgr/gr}$ , تأثیر فاصله شعاعی تومور از چشممه بر میزان افزایش دوز در عمق‌های مختلف (از  $1/5\text{ cm}$  تا  $5\text{ cm}$ ) ارزیابی شد.

در برنامه MCNP4C تالی F6 (کرما بر حسب  $\text{Mev/gr}$ ) در مقایسه با تالی F8\* (دوز جذب بر حسب  $\text{Mev}$ ) به ازای تعداد یکسانی از ذرات تراپید شده خطای کمتری را ایجاد می‌کند، لذا در شبیه‌سازی جداگانه‌ای با برآورد برابری کرما و دوز جذب در فواصل مختلف از چشممه ایریدیم-۱۹۲ در داخل فانتوم آب، به منظور کاهش زمان لازم برای اجرای برنامه‌ها از فرض برابری کرما و دوز جذب برای محاسبه دوز استفاده شد. انرژی قطع برای پایان تراپید ذرات برای الکترون و فوتون به ترتیب برابر  $5\text{ eV}$  در نظر گرفته شده است. هیچ روش کاهش خطای  $10\text{ eV}$  در تراپید ذرات برای این اهداف (Variance Reduction) دیگری برای برنامه‌ها به کار گرفته نشد.

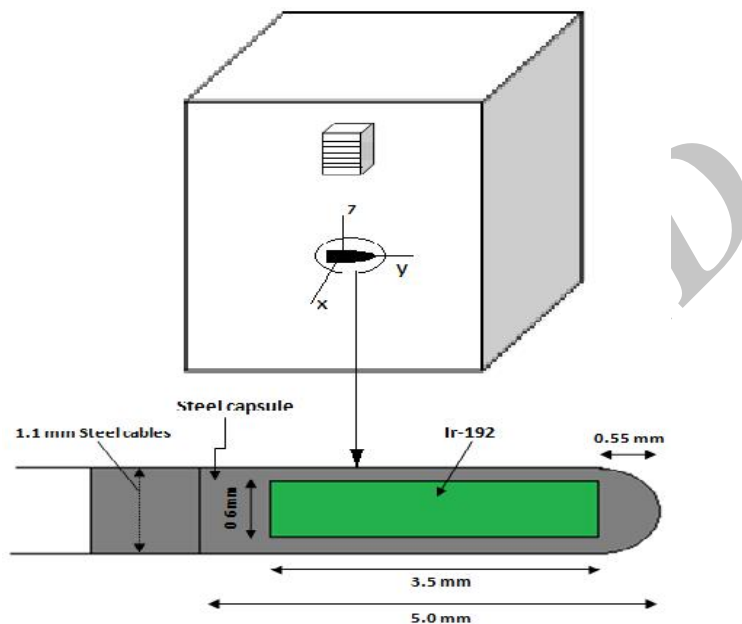
## یافته‌ها

ماکریم عدم قطعیت آماری (۱) برای محاسبه ثابت آهنگ دوز بر اساس پروتکل TGAAPM,-۴۳ در داخل فانتوم همگن آب به ازای تراپید  $10^8$  تاریخچه فوتونی  $70\%$  بود. در برآورد فاکتورهای افزایش دوز، بیشترین میزان عدم قطعیت آماری (۱) حاصله در تمام فواصل شعاعی به دنبال تراپید  $10^9$  تاریخچه فوتونی کمتر از  $44\%$  بود.

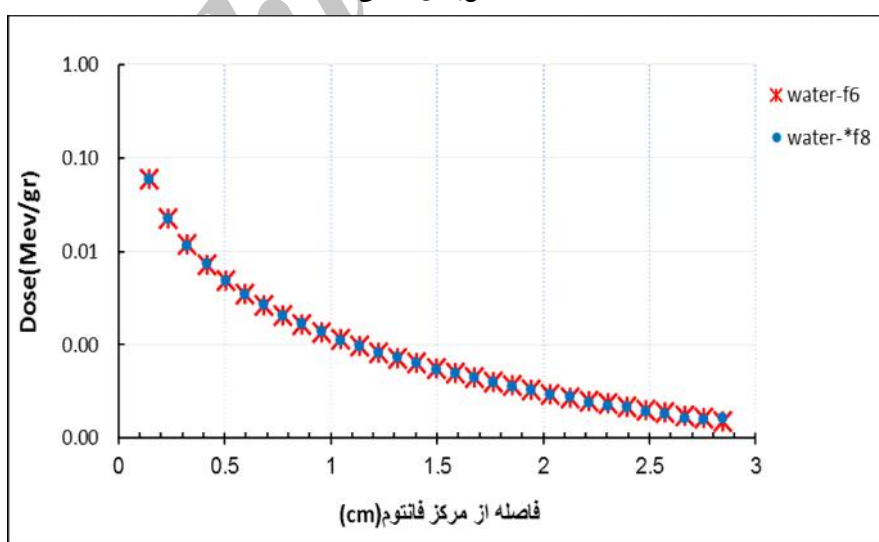
در شکل ۲ مقادیر دوز جذبی با استفاده از کرما (تالی F6) و دوز جذب ( $*F8$ ) در فواصل شعاعی مختلف از چشممه رسم شدند. با مقایسه داده‌های به دست آمده، اختلاف معناداری بین نتایج مشاهده نشد (با مقدار  $P=0.05$ ) که

مالحظه نیست. فاکتورهای افزایش دوز در فواصل مختلف مرکز تومور از چشمۀ در جدول ۴ آورده شده است. نتایج حاصله نشان می‌دهد که با افزایش فاصله مرکز تومور از چشمۀ، فاکتور افزایش دوز تا  $22/3\%$  افزایش می‌یابد.

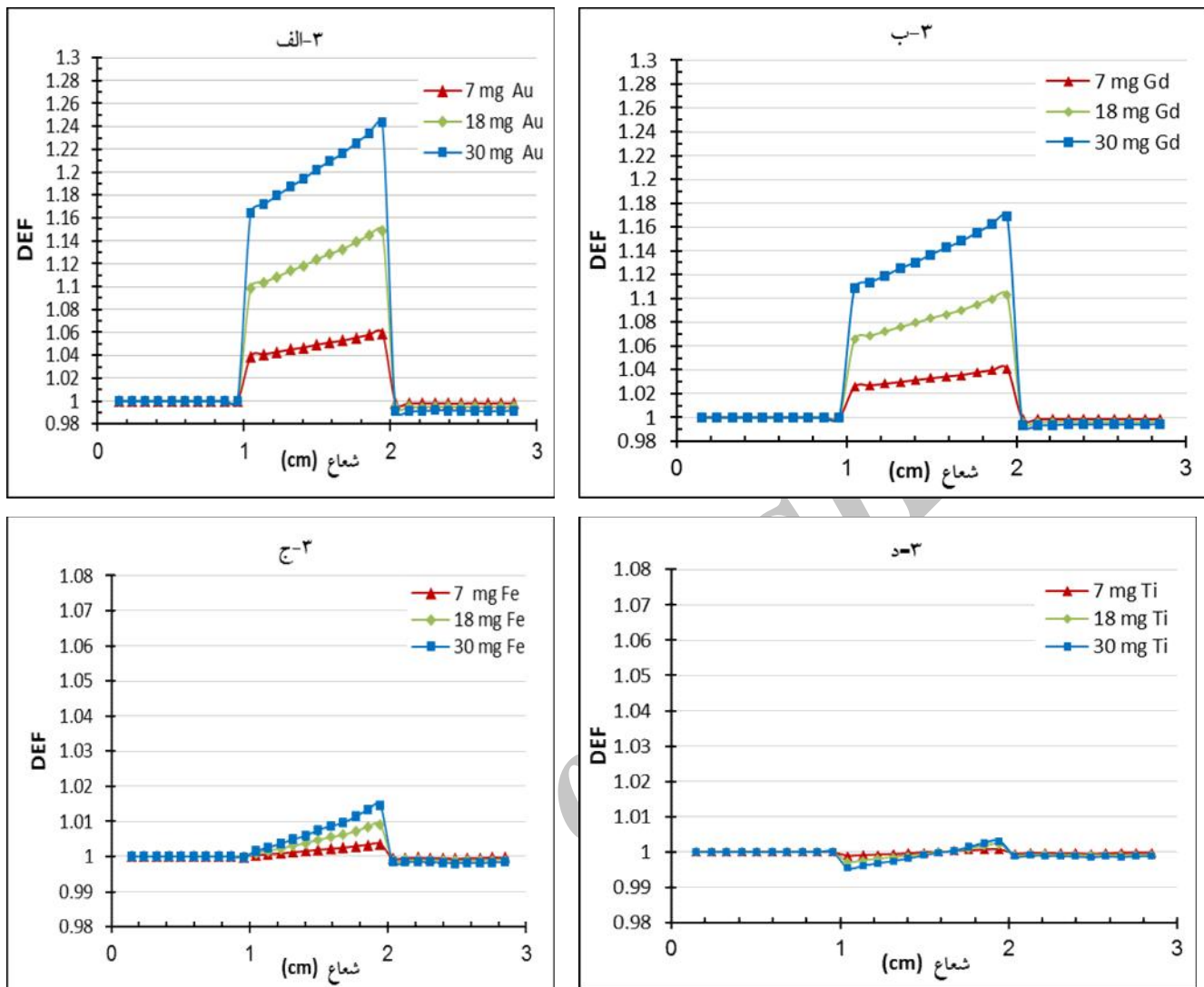
در جدول ۳ فاکتورهای افزایش دوز در حالت مونوازرژیک و یا طیف واقعی تابشی از چشمۀ ایریدیم-۱۹۲ لیست شده‌اند. فاکتورهای افزایش دوز به دست آمده در حالت تابش مونوازرژیک بیشتر از مقادیر حاصله برای تابش طیف واقعی می‌باشد. هر چند این افزایش ( $0/038\%$ ) قابل



شکل ۱: چشمۀ ایریدیم-۱۹۲ مدل میکروسلکترون جاگذاری شده در مرکز فانتوم آب شامل توموری در فاصله  $1/5\text{ cm}$ . ابعاد نمایش داده شده مقایس‌بندی واقعی ندارند.



شکل ۲: تغییرات دوز جذبی محاسبه شده بر حسب فاصله از مرکز چشمۀ ایریدیم-۱۹۲ با استفاده از کرمای (تالی F6) و دوز جذب داده‌های F8\*. قبل از مقایسه ابتدا بر جرم تالی تقسیم شده‌اند.



شکل ۳:الف - د. نمودارهای میزان DEF محاسبه شده در حالت توزیع یکنواخت نانوذرات طلا، گادالینیوم، آهن و تیتانیوم با غلظت های ۷، ۱۸ و ۳۰ mgr/gr در حجم تومور تحت تابش با چشمۀ ایریدیم-۱۹۲ در فواصل شعاعی مختلف بر روی محور عمود بر محور مرکزی چشمۀ.

جدول ۱: ویژگی های فیزیکی و مدل چشمۀ مورد استفاده ایریدیم-۱۹۲.

هرسته رادیواکتیو	نیمه عمر(روز)	بازه انرژی (Kev)	مدل چشمۀ	مرجع
Ir <sup>192</sup>	۷۳/۸	۰-۸۸۵ (میانگین ۳۶۰)	MicroSelectron	[20] Jones. B

جدول ۲: میانگین فاکتور افزایش دوز در حجم تومور، DEF

(mgr/gr)	غلاظت	نانوذرات (توزیع یکنواخت)			
		<sup>۷۹</sup> Au	<sup>۹۴</sup> Gd	<sup>۵۶</sup> Fe	<sup>۴۷</sup> Ti
۷		۱/۰۴۷	۱/۰۳۳	۱/۰۰۲	۱/۰۰۰
۱۸		۱/۱۱۸	۱/۰۸۳	۱/۰۰۵	۱/۰۰۰
۳۰		۱/۱۹۴	۱/۱۳۶	۱/۰۰۷	۱/۰۰۰

جدول ۳: میانگین فاکتور افزایش دوز در حجم تومور در حالت تشعشع مونو انرژیک یا طیف واقعی تابشی از چشمۀ ایریدیم-۱۹۲.

(mgr Au/gr)	غلاظت	انرژی	
		۳۶۰ KV	طیف واقعی
۷		۱/۰۴۹	۱/۰۴۷
۱۸		۱/۱۲۲	۱/۱۱۸
۳۰		۱/۲۰۱	۱/۱۹۴

جدول ۴: تغییرات فاکتور افزایش دوز تومور، DEF. بر حسب فاصله شعاعی مرکز تومور از مرکز چشمۀ ایریدیم-۱۹۲ (cm).

(cm)	فاصله مرکز تومور از چشمۀ (cm)	۱۸ mgr Au/gr	برای غلاظت
			۱/۰
۱/۵			۱/۱۱۸
۲			۱/۱۵۰
۲/۵			۱/۱۸۳
۳			۱/۲۱۹
۵			۱/۳۶۷

جدول ۵: مقادیر فاکتور افزایش دوز تومور، DEF. در مقایسه با سایر گزارشات. اعداد داخل پرانتزها نشان‌دهنده درصد اختلاف نتایج دیگران با مطالعه حاضر است. علامت منفی و مثبت به ترتیب نشان‌دهنده کاهش و افزایش می‌باشد.

میزان DEF تخمین زده شده در حضور نانوذرات طلا در درمان با چشمۀ ایریدیم-۱۹۲

(mgr Au/gr)	غلاظت	مطالعه حاضر	Cho(۲۰۰۵)	Cho(۲۰۰۹)	Gual(۲۰۰۹)
			[۶]	[۱۴]	[۱۶]
۷		۱/۰۴۹	۱/۰۴۷ (-٪۰/۲)	۱/۰۳ (-٪۱/۸)	۱/۰۵ (-٪۰/۱)
۱۸		۱/۱۲۲	۱/۱۵۶ (+٪۳/۰)	۱/۰۷ (-٪۴/۶)	۱/۱۲ (-٪۰/۲)
۳۰		۱/۲۰۱	۱/۲۵۶ (+٪۴/۶)	۱/۱۱ (-٪۷/۶)	۱/۲۰ (-٪۰/۱)

## بحث

را افزایش می‌دهد، ولی باید توجه داشت که در محدوده انرژی چشمی ایریدیم-۱۹۲ بیشتر برخوردها در محدوده پراکندگی‌های کامپتونی‌اند، لذا می‌توان این‌گونه نتیجه گرفت که این چنین افزایشی در عدد اتمی مؤثر تومور (تزریق آهن یا تیتانیوم در داخل تومور) منجر به شیفت چندانی در تعداد برخوردها به سمت برخوردهای فوتوالکتریک نخواهد شد.

با توجه به شکل ۳ جالب توجه است که این افزایش دوز در صورتی که وجود نانوذرات فقط در حجم تومور باشد، منحصراً باعث افزایش دوز در حجم تومور می‌شود که این امر باعث بهبود بهره درمان تششععی خواهد شد. علاوه بر این، افزایش غلظت نانوذرات باعث افزایش دوز جذبی خواهد شد (از ۱۹/۴٪ تا ۳۶/۳٪ به ترتیب برای غلظت‌های ۷ تا ۳۰ mgr/gr و گادلینیوم) چرا که به طور واضح احتمال رخداد پدیده فوتوالکتریک به واسطه افزایش ماده برهمکنش‌کننده افزایش می‌یابد. در سال ۲۰۰۵ چو و همکارانش (۶) با استفاده از روش شبیه‌سازی مونت‌کارلو برای چشمی ایریدیم-۱۹۲ بسته به فاصله شعاعی حجم حاوی نانوذره از مرکز چشمی و غلظت نانوذره به کار رفته (۷ تا ۳۰ mg/ml)، افزایش دوزی بین ۵ تا ۳۱٪ گزارش کردند. در مطالعه حاضر این افزایش دوز در حدود ۴/۷٪ تا ۱۹/۴٪ محاسبه شد. فاکتور افزایش دز برای انرژی ۴ و MV ۶ و غلظت ۳۰ mg/ml نانوذره طلا به ترتیب برابر با ۱۰/۵٪ و ۱۰/۷٪ گزارش شد، در حالی که برای انرژی ۱۴۰ kVp این نسبت برابر ۲ محاسبه شد (۶). در ادامه کار قبلی، در سال ۲۰۰۹ چو و همکارانش (۱۴) فاکتورهای افزایش دوز ماکروسکوپی برای تومور حاوی ۱۸ mg/g نانوذره طلا در فاصله ۱ cm از مرکز چشمی را به ترتیب برای  $I^{125}$ ، فوتون  $50\text{ kVp}$  و  $169\text{ Yb}$  برابر با ۹۲٪ و ۱۰/۸٪ گزارش کردند. با توجه به این مطالعات انتظار می‌رود که افزایش انرژی فوتون تابشی با افزایش برخوردهای کامپتونی، رخداد برخوردهای فوتوالکتریک را کاهش

در مطالعه حاضر ثابت آهنگ دوز ایریدیم-۱۹۲ برابر با  $U^{-1} \text{ cGy h}^{-1}$  با  $\pm 0.084/0.127$  محاسبه شد. ویلیامسون (Williamson) و لی (Li) (سال ۱۹۹۵) برای این چشمی ثابت آهنگ دوزی برابر با  $U^{-1} \text{ cGy h}^{-1}$  با  $\pm 0.05/0.115$  گزارش کردند که کاهشی در حدود ۱۰/۶٪ را نشان می‌دهد. راشل (Russel) و آنسزو (Anhesjo) (سال ۱۹۹۶) مقداری برابر با  $U^{-1} \text{ cGy h}^{-1}$  با  $\pm 0.10/0.131$  گزارش کردند که افزایشی در حدود ۳۵٪ را نشان می‌دهد. با توجه به خطاهای گزارش شده، ثابت آهنگ دوز به دست آمده تطابق بسیار خوبی با دیگر داده‌های گزارش شده نشان می‌دهد. لذا با اطمینان از صحت چشمی ایریدیم-۱۹۲ و نیز فانتوم شبیه‌سازی شده، در ادامه توزیع دوز حاصله از این چشمی را بررسی می‌کنیم.

همان‌طور که از جدول ۲ و نمودارهای شکل ۳ الف-د بر می‌آید در برآکی ترابی با استفاده از چشمی ایریدیم-۱۹۲ تابش تومور همراه با افرودن نانوذرات با عدد اتمی بالا مانند طلا و گادلینیوم به داخل تومور به دلیل افزایش احتمال جذب فوتوالکتریک، موجب افزایش دوز جذبی تومور (به ترتیب ۱۹/۴٪ و ۱۳/۶٪ برای غلظت ۳۰ mgr/gr) خواهد شد. برای موادی چون آهن و تیتانیوم این افزایش دوز (به ترتیب ۰٪ و ۷٪ به ترتیب برای غلظت‌های ۷ و ۳۰ mgr/gr) چندان قابل توجه نمی‌باشد. این نتیجه قابل توجیه است چرا که آهن و تیتانیوم در مقایسه با طلا و گادلینیوم دارای عدد اتمی کوچکتر هستند (تا حدود سه برابر کوچکتر)، لذا با توجه به رابطه مستقیم پدیده فوتوالکتریک با توان سوم عدد اتمی، این افزایش دوز برای مواد با اعداد اتمی کمتر مورد انتظار است؛ به طور مثال عدم افزایش دوز برای تیتانیوم به واسطه عدد اتمی ۲۲ بیانگر عدم تأثیرگذاری این ماده در افزایش دوز تومور است. البته این مسئله ممکن است که کمی گمراه‌کننده باشد، چراکه به هر حال افرادون این ماده در مقایسه با آب عدد اتمی مؤثر تومور

درمان‌های تشعشعی یعنی حداکثر دوز به تومور و حداقل دوز به بافت‌های سالم یاری کند.

هاینفلد و همکاران (۲۰۰۸) با تزریق مستقیم نانوذرات طلا در تومورهای پستان ایجاد شده در موش‌ها و پرتودهی با اشعه ایکس  $kVp$ ، بقای ۸۶٪ را در مقایسه با بقای ۲۰٪ (پرتودهی تنها) گزارش کردند. برای گروهی که تنها نانوذره طلا دریافت کرده بود، کسر بقای ۰٪ به دست آمد (۷). نتایج مطالعات حیوانی (۱۲) به‌وضوح نشان می‌دهند که در مقایسه با عدم حضور نانوذرات در تومور، کاهش کسر بقا سلول‌های سرطانی به‌واسطه حضور نانوذرات به ازای تابش‌های یکسان رخ می‌دهد که تأییدی بر افزایش دوز در حضور نانوذره طلا خواهد بود. هر چند حضور غلظت‌های بالاتر نانوذرات در حجم تومور افزایش دوز بیشتری را درمان‌های تشعشعی ایجاد می‌کند، اما برای دستیابی به افزایش دوز بیشتر نمی‌توان غلظت نانوذرات را بدون محدودیت افزایش داد چراکه افزایش غلظت می‌تواند سمیت سلولی ایجاد کند.

همان‌گونه که از جدول ۴ بر می‌آید، تغییر فاصله مرکز تومور از مرکز چشمۀ افزایش  $cm$  ۵ تا  $1/5 cm$  میانگین افزایش دوزی در حدود ۲۲٪ برای حجم تومور در حضور نانوذرات طلا با غلظت  $mgr/gr$  ۱۸ را نتیجه می‌دهد. بر این اساس در فرایند درمان، جهت تخمین میزان افزایش دوز در حضور نانوذرات در حجم تومور در نظرگیری فاصله تومور از محل کاشت یا قرارگیری چشمۀ فاکتور تأثیرگذاری است.

با توجه به شکل‌های ۳ الف- د با افزایش عمق نفوذ در داخل تومور (به ضخامت  $1 cm$ ) دوز جذبی افزایش می‌یابد ( $0.6\%$  به ترتیب برای غلظت  $mgr/gr$  ۳۰ طلا و گادالینیوم). این افزایش دوز و قرارگیری بیشترین میزان فاکتور افزایش دوز در قسمت انتهایی تومور با وجود کاهش شدت اشعه در اثر تضعیف، به‌دلیل کاهش انرژی میانگین فوتون‌ها به‌واسطه شیفت انرژی فوتون‌ها به سمت انرژی‌های

می‌دهد که منجر به کاهش دوز می‌شود، هر چند با افزایش انرژی ( $>102 MeV$ ) به دلیل افزایش رخداد پدیده تولید جفت دوز جذبی تومور افزایش می‌یابد.

نتایج حاصله در مطالعه حاضر مطابقت خوبی با دیگر گزارش‌ها (جدول ۵) به خصوص مطالعه گوال (Gual) و همکارانش (۲۰۰۹) (۱۶) نشان می‌دهد. هرچند به دلیل تفاوت‌هایی که ممکن است در ترکیب بافت، فانتوم و تومور، اندازه تومور و فانتوم، و یا موقعیت و مکان قرارگیری تومور از مرکز چشمۀ، مدل و هندسه چشمۀ، سطوح غلظت و یا در نظرگیری انرژی اشعه تابشی به صورت طیف یا مونو انرژیتیک با سایر مطالعات وجود داشته باشد، اختلافات کمی مشاهده می‌شود. مخصوصاً در مطالعه چو و همکاران (۲۰۰۹) چشمۀ ایریدیم به جای فاصله  $1 cm$  به کار رفته در این مطالعه دقیقاً در مرکز تومور در نظر گرفته شده است که برای غلظت  $mgr/gr$  ۳۰ کاهش  $7/6\%$  را نسبت به نتیجه این مطالعه نشان می‌دهد.

مزیت قابل ملاحظه دیگر کاهش دوز در عمق‌های بعد از تومور (عمق‌های بعد از  $cm 2$ ) به‌واسطه حضور نانوذرات می‌باشد (شکل ۳) که با افزایش احتمال رخداد پدیده فوتوالکتریک باعث کاهش شدت اشعه رسیده به عمق‌های بعد از تومور می‌شود، لذا می‌توان انتظار داشت که به‌واسطه حضور نانوذرات در داخل حجم تومور بافت‌های عمقی بعد از تومور دوز کمتری دریافت کنند. این کاهش با افزایش غلظت نانوذرات بیشتر خواهد بود. هرچند این کاهش به دلیلی انرژی ایریدیم - ۱۹۲ چناند قابل ملاحظه نمی‌باشد، اما بر اساس نتایج گزارش شده توسط چو و همکارانش (۲۰۰۹) برای چشمۀ‌های کم انرژی  $I^{125}$  و  $Yb^{169}$  این کاهش دوز در عمق‌های بعد از حجم تومور موجب کاهش قابل ملاحظه‌ای در بافت‌های سالم عمقی خواهد شد (۱۴). بر این اساس این ایده (افزودن نانوذرات در داخل تومور) می‌تواند ما را در دستیابی به هدف نهایی

افزایش معناداری بر دوز دریافتی تومور ندارد، لذا به کارگیری نانوذرات با اعداد اتمی پایین منجر به بهبود بهره درمان تششعشی در برآکی تراپی با چشمۀ ایریدیم- ۱۹۲ نخواهد شد. افزایش غلظت نانوذرات در حجم تومور و نیز افزایش فاصله تومور از چشمۀ باعث افزایش دوز جذبی خواهد شد. هرچند نتایج مطالعه حاضر نشان می‌دهد که حضور نانوذرات با عدد اتمی بالا در حجم تومور می‌تواند موجب افزایش دوز جذبی تومور شود. با این حال مطالعات (حیوانی و اندازه‌گیری‌های عملی) متعددی لازم است تا این ایده به عنوان یکی از روش‌های رادیوتراپی هدفمند به طور بالینی مورد استفاده قرار بگیرد. چنانچه بتوان در کاربردهای کلینیکی با استفاده از برچسب کردن نانوذرات با اعداد اتمی بالا با گیرندهای مناسب ضمن رساندن غلظت مناسبی از آنها به داخل تومور، وجود نانوذرات را فقط به حجم تومور منحصر کرد، حداکثر دوز می‌تواند به تومور داده شود، در حالی که دوز بافت‌های نرم‌النیمی در حداقل ممکن پایین نگه داشته شود.

### قدرتانی

این مطالعه برگرفته از بخشی از پایان‌نامه دانشجویی مقطع کارشناسی ارشد فیزیک پزشکی در گروه فیزیک پزشکی دانشکده پژوهشی است که با حمایت دانشگاه علوم پژوهشی جندی‌شاپور اهواز تحت طرح تحقیقاتی شماره ۹۰۲۴۴-U انجام شده است.

پایین طیف، ناشی از افزایش فوتون‌های ثانویه یا پراکنده کامپتونی و الکترون‌های رسیده به عمق، است که موجب افزایش جذب فوتوالکتریک خواهد شد. نمودار ارائه شده برای متبع ایریدیم در مطالعه چو و همکارانش (۶) نیز این توزیع دوز در داخل حجم تومور را نشان می‌دهد. باید توجه داشت که از نظر کلینیکی با پایین نگه داشتن دوز بافت‌های سالم پیرامونی در صورتی که تمام حجم تومور دوز تجویزی لازم را دریافت کند، ناهمگنی دوز در نواحی مختلف در داخل حجم تومور قاعده‌تاً مشکلی در درمان تششعشی ایجاد نمی‌کند.

### نتیجه‌گیری

نتایج مطالعه حاضر نشان می‌دهد که با استفاده از چشمۀ‌های برآکی تراپی نظری ایریدیم- ۱۹۲ و پر کردن حجم تومور با نانوذراتی همچون طلا و یا گادلینیوم، به دلیل افزایش رخداد برهمکنش فوتوالکتریک، افزایش دوز قابل ملاحظه‌ای حاصل می‌شود که می‌تواند در درمان‌های تششعشی به طور مؤثری مورد استفاده قرار بگیرد. میزان افزایش دوز تخمین زده شده ناشی از حضور نانوذرات طلا بیشتر از نانوذرات گادلینیوم است (تا حدود ۵/۸٪ برای غلظت  $\text{mgr/gr}$ <sup>(۳)</sup>؛ بنابراین پیشنهاد می‌شود که طلا با توجه به اینکه فلزی خنثی است و اثرات کوتاه مدت و یا بلند مدت بر روی سلامت انسان برای آن گزارش نشده است (۱۴) برای تزریق داخل توموری و یا درون رگی انتخاب شود. بر اساس نتایج حاصله به کارگیری نانوذرات با اعداد اتمی کوچکتر نظری آهن ( $Z=۲۶$ ) و تیتانیوم ( $Z=۲۲$ )

### منابع

- 1-Steel GG. Basic clinical radiobiology. 3rd ed. London: Arnold; 2002.
- 2-Khan FM. The physics of radiation therapy. 4th ed. Philadelphia: Lippincott Williams & Wilkins; 2010.
- 3- Rose JH, Norman A, Ingram M, Aoki C, Solberg T, Mesa A. First radiotherapy of human metastatic brain tumors delivered by a computerized tomography scanner (CTRx). Int J Radiat Oncol Biol Phys 1999;45(5):1127-32.
- 4-Herold DM, Das IJ, Stobbe CC, Iyer RV, Chapman JD. Gold microspheres: a selective technique for producing biologically effective dose enhancement. Int J Radiat Biol 2000;76(10):1357-64.
- 5- Santos Mello R, Callisen H, Winter J, Kagan AR, Norman A. Radiation dose enhancement in tumors with iodine. Med Phys 1983;10(1):75-8.

- 6-Cho SH. Estimation of tumour dose enhancement due to gold nanoparticles during typical radiation treatments: a preliminary Monte Carlo study. *Phys Med Biol* 2005;50(15):N163-73.
- 7-Hainfeld JF, Dilmanian FA, Slatkin DN, Smilowitz HM. Radiotherapy enhancement with gold nanoparticles. *J Pharm Pharmacol* 2008;60(8):977-85.
- 8-Sakamoto JH, Smith BR, Xie B, Rokhlin SI, Lee SC, Ferrari M.. The molecular analysis of breast cancer utilizing targeted nanoparticle based ultrasound contrast agents. *Technol Cancer Res Treat* 2005;4(6):627-36.
- 9-Bullis K. Remotely activated nanoparticles destroy cancer. *Technology Review* 2007. Available From: <http://www.technologyreview.com/Nanotech/17956/>. Accessed November 25, 2007.
- 10-Sullivan DC, Ferrari M. Nanotechnology and tumor imaging: seizing an opportunity. *Mol Imaging* 2004;3(4):364-9.
- 11-Zheng Y, Sanche L. Gold nanoparticles enhance DNA damage induced by anti-cancer drugs and radiation. *Radiat Res* 2009;172(1):114-9.
- 12-Hainfeld JF, Slatkin DN, Smilowitz HM. The use of gold nanoparticles to enhance radiotherapy in mice. *Phys Med Biol* 2004;49(18): N309-15.
- 13-Zhang SX, Gao J, Buchholz TA, Wang Z, Salehpour MR, Drezek RA, et al. Quantifying tumor-selective radiation dose enhancements using gold nanoparticles: a monte carlo simulation study. *Biomed Microdevices* 2009;11(4):925-33.
- 14-Cho SH, Jones BL, Krishnan S. The dosimetric feasibility of gold nanoparticle-aided radiation therapy (GNRT) via brachytherapy using low-energy gamma-/x-ray sources. *Phys Med Biol* 2009;54(16):4889-905.
- 15-Van den Heuvel F, Locquet JP, Nuyts S. Beam energy considerations for gold nano-particle enhanced radiation treatment. *Phys Med Biol* 2010;55(16):4509-20.
- 16-Gual MR, Caridad M, Cardona A, Landy Y, González C, García JR. Use of nanoparticles in brachytherapy-an alternative for enhancing doses in cancer treatment. Proceedings of the International Congress on Medical Physics and Biomedical Engineering; 2009 September 7 - 12; Munich, Germany.
- 17- Karaiskos P, Angelopoulos A, Sakellou L, Sandilos P, Antypas C, Vlachos L, et al. Monte Carlo and TLD dosimetry of an 192Ir high dose-rate brachytherapy source. *Med Phys* 1998;25(10): 1975-84.
- 18- Rivard MJ, Coursey BM, DeWerd LA, Hanson WF, Huq MS, Ibbott GS, et al. Update of AAPM Task Group No. 43 Report: A revised AAPM protocol for brachytherapy dose calculations. *Med Phys* 2004;31(3):633-74.
- 19-Baltas D, Karaiskos P, Papagiannis P, Sakellou L, Loeffler E, Zamboglou N. Beta versus gamma dosimetry close to Ir-192 brachytherapy sources. *Med Phys* 2001;28(9):1875-82.
- 20- Jones BL, Krishnan S, Cho SH. Estimation of microscopic dose enhancement factor around gold nanoparticles by Monte Carlo calculations. *Med Phys*. 2010;37(7):3809-16.

## Dose Enhancement Due to Injection of $^{79}\text{Au}$ , $^{64}\text{Ga}$ , $^{26}\text{Fe}$ and $^{22}\text{Ti}$ Nanoparticles into Tumor During HDR- $^{192}\text{Ir}$ Brachytherapy Treatment: Monte Carlo Study

Mansour Zabihzadeh<sup>1\*</sup>, Seyedeh Sahar Arefian<sup>2</sup>, Nasim Shams<sup>3</sup>

1-Associate Professor of Medical Physics.

2-MSc student of Medical Physics.

3-Assistant Professor of Density.

1,2-Department of Medical Physics, Faculty of Medicine, Ahvaz Jundishapur University of Medical Sciences, Ahvaz, Iran.  
3-Department of Oral and Maxillofacial Radiology, Faculty of Dentistry, Ahvaz Jundishapur University of Medical Sciences, Ahwaz, Iran

### Abstract

**Background and Objective:** On the base of photon interactions with material, increase of atomic number and decrease of emitted photon energy increases photoelectric absorption. In the current study, the dose enhancement factor (DEF) of loaded tumor with nanoparticles (NPs) was studied using  $^{192}\text{Ir}$  HDR brachytherapy source.

**Subjects and Methods:** Monte Carlo calculations were performed with MCNP4C code to determine the DEF from  $^{192}\text{Ir}$  source. The NPs-water mixture model was simulated. Uniform distribution of NPs into the tumor volume located 1.5 cm from center of source centered in the water phantom with 7, 18 and 30 mgr/gr concentrations of  $^{79}\text{Au}$ ,  $^{64}\text{Ga}$ ,  $^{26}\text{Fe}$  and  $^{22}\text{Ti}$ , was considered.

**Result:** DEF of 1.049, 1.122, 1.201 and 1.033, 1.083 and 1.136 were estimated for  $^{79}\text{Au}$  and  $^{64}\text{Gd}$  with concentrations of 7, 18 and 30 mgr/gr, respectively. Increasing of tumor doses was not significant due to loading of  $^{26}\text{Fe}$  and  $^{22}\text{Ti}$ . Increase the radial distance of source from the tumor (from 1.5 to 5 cm) increases the DEF (up to 22.3%).

**Conclusion:** Our data predicate that loading of tumor with high-Z NPs such as gold NPs increase the absorbed dose of tumor irradiated to  $^{192}\text{Ir}$  HDR brachytherapy source due to increase of photoelectric interactions. Increase of atomic number and concentration of NPs and radial distance of tumor from the source increase DEF. Loading of the tumor volume with NPs during radiation therapy improves therapeutic ratio.

**Keywords:** Dose enhancement factor,  $^{192}\text{Ir}$  brachytherapy source, Monte Carlo simulation, Nanoparticles.

\*Corresponding author:  
Mansour Zabihzadeh; Department of Medical Physics, Faculty of Medicine, Jundishapur University of Medical Sciences, Ahvaz, Iran.  
Tel:+989125032283  
Email:zabihzadeh@ajums.ac.ir

Please cite this paper as:

Zabihzadeh M, Arefian SS, Shams N. Dose Enhancement Due to Injection of  $^{79}\text{Au}$ ,  $^{64}\text{Ga}$ ,  $^{26}\text{Fe}$  and  $^{22}\text{Ti}$  nanoparticles into Tumor During HDR- $^{192}\text{Ir}$  Brachytherapy Treatment: Monte Carlo Study. Jundishapur Sci Med J 2013;12(3):313-324

Received: Dec 23, 2012

Revised: Feb 6, 2013

Accepted: Feb 11, 2013